

Esercizi dell'11 aprile

Dehn twist

Per fissare la notazione, ricordiamo come si definiscono i Dehn twist. Siano S una superficie chiusa orientabile, $\alpha: S^1 \rightarrow S$ una curva semplice chiusa non banale. Sia $A = S^1 \times [-1, 1]$ con l'orientazione indotta da quelle standard di S^1 e $[-1, 1]$. Fissiamo un intorno regolare di α , ossia un embedding $\psi: A \rightarrow S$ tale che $\psi(x, 0) = \alpha(x)$ per ogni $x \in S^1$; scegliamolo in modo che ψ preservi l'orientazione. Fissiamo infine una funzione $f: [-1, 1] \rightarrow [0, 2\pi]$ tale che $f(t) = 0$ per $t \leq -\frac{1}{2}$ e $f(t) = 2\pi$ per $t \geq \frac{1}{2}$, e definiamo

$$\begin{aligned} \theta: A &\longrightarrow A \\ (e^{ix}, t) &\longmapsto (e^{i(x+f(t))}, t). \end{aligned}$$

Possiamo ora definire il Dehn twist intorno a α come il diffeomorfismo $T_\alpha: S \rightarrow S$ tale che

$$T_\alpha(p) = \begin{cases} p & p \notin \psi(A) \\ (\psi \circ \theta \circ \psi^{-1})(p) & p \in \psi(A). \end{cases}$$

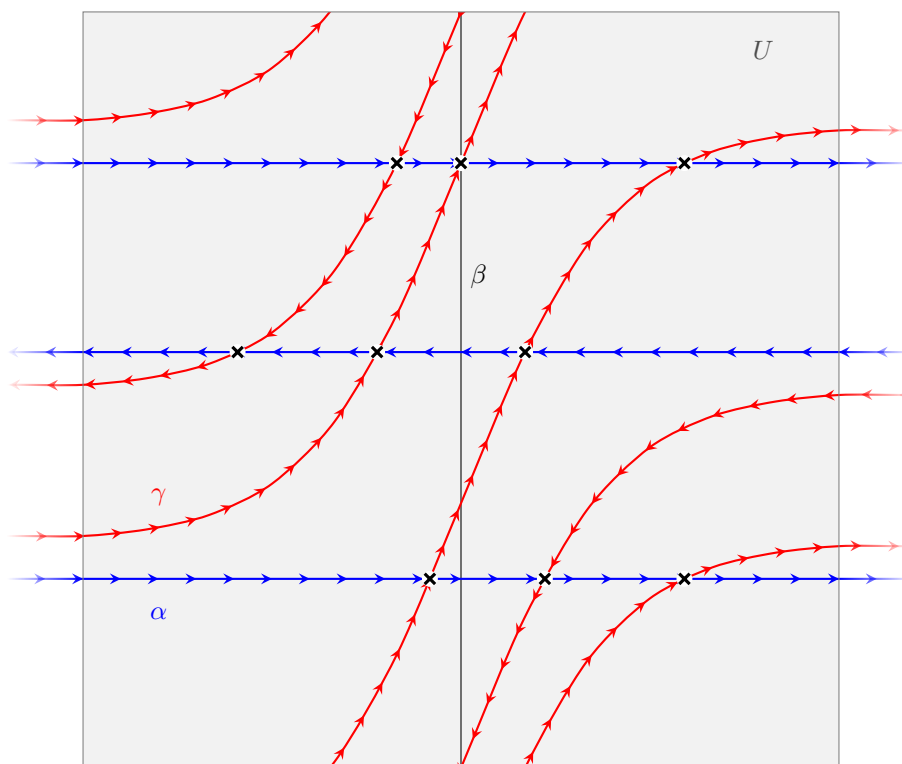
Come visto a lezione, la classe di isotopia di T_α non dipende dalla scelta dell'intorno regolare ψ né della funzione f . Mostreremo inoltre nell'Esercizio 3.2 che la classe di isotopia di T_α non cambia invertendo l'orientazione di α o sostituendo α con una curva a lei isotopa: è dunque ben definito l'elemento $T_a \in \text{MCG}(S)$ per $a \in \mathcal{S}$.

Esercizio 3.1

Lemma 1. *Siano a, b classi di isotopia di curve semplici chiuse, con b non banale, e sia $k \geq 0$. Allora*

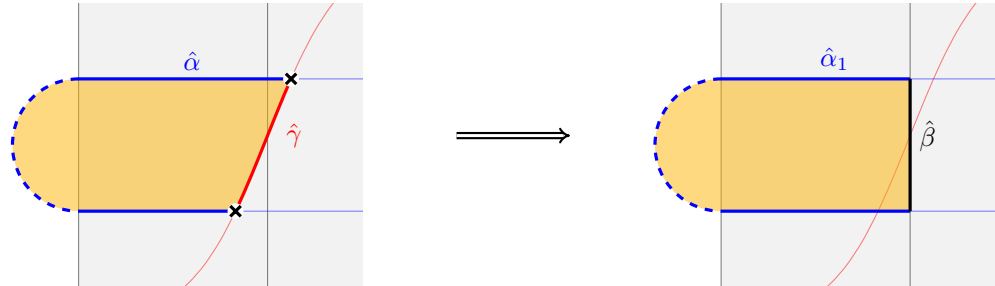
$$i(a, T_b^k(a)) = k \cdot i(a, b)^2.$$

Dimostrazione. Siano α, β rappresentanti di a, b in posizione minimale. Se α e β non si intersecano la tesi è ovvia, dunque supponiamo che si intersechino almeno in un punto. Scegliamo un intorno regolare U di β abbastanza stretto da intersecare α in $i(a, b)$ archi disgiunti, ciascuno dei quali interseca β esattamente una volta. Definiamo un rappresentante γ della classe $T_b^k(a)$ come segue: consideriamo una curva α' parallela a α , ottenuta traslando α lungo un suo intorno regolare, e poniamo $\gamma = T_\beta^k(\alpha')$. Possiamo orientare α e γ in modo che siano coorientate e che entrando in U si allontanino.

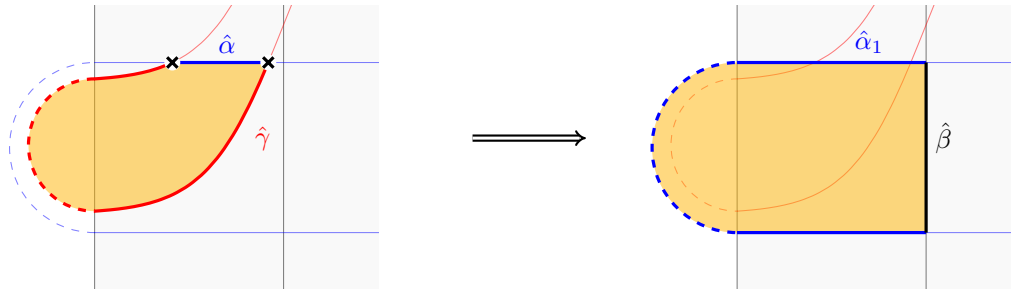


È immediato verificare che α e γ si intersecano esattamente in $k \cdot i(a, b)^2$ punti. È dunque sufficiente mostrare che α e γ sono in posizione minimale, ossia che non formano bigoni. Se $i(a, b) = 1$ allora α e γ non possono formare bigoni (si intersecano sempre con la stessa orientazione), quindi supponiamo $i(a, b) \geq 2$. Supponiamo per assurdo che esista un bigono D , e siano $\hat{\alpha}, \hat{\gamma}$ i lati di D che giacciono rispettivamente su α e γ . Distinguiamo alcuni casi.

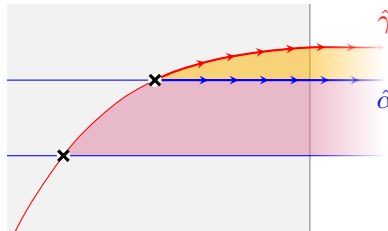
- Se $\hat{\gamma}$ è tutto contenuto in U , allora α e β formano un bigono, ma ciò è impossibile, dato che sono in posizione minimale.



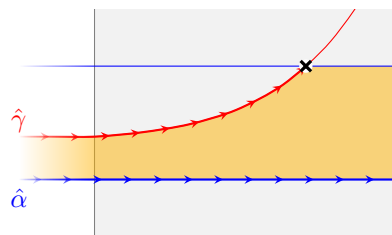
- Se $\hat{\alpha}$ è tutto contenuto in U , allora di nuovo α e β formano un bigono (ricordiamo che α e γ sono parallele fuori da U).



- Dunque $\hat{\alpha}$ esce da U per poi rientrarvi. Analizziamo cosa succede vicino vicino al punto in cui $\hat{\alpha}$ esce da U .



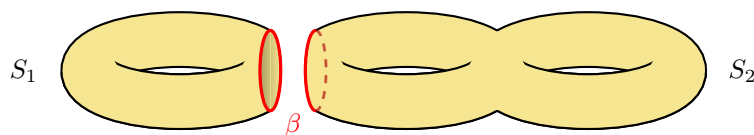
Osserviamo che la regione in rosa non può essere un bigono, in quanto il suo lato giacente su γ è tutto contenuto in U , e abbiamo già escluso questa possibilità. Dunque il bigono è necessariamente la regione arancione, e $\hat{\gamma}$ è parallelo a $\hat{\alpha}$ fuori da U . Analizziamo ora cosa succede vicino al punto in cui $\hat{\alpha}$ e $\hat{\gamma}$ rientrano in U .



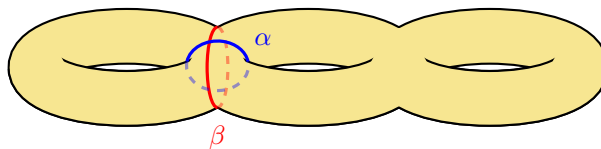
Dopo essere entrati in U , $\hat{\alpha}$ e $\hat{\gamma}$ si allontanano, dunque non è possibile che la prima intersezione di $\hat{\gamma}$ con α sia il secondo estremo di $\hat{\alpha}$; è pertanto impossibile che $\hat{\alpha}$ e $\hat{\gamma}$ siano lati di un bigono. \square

Sia $b \in \mathcal{S}$ una classe di isotopia non banale, e $\beta: S^1 \rightarrow S$ una curva che la rappresenta. Mostriamo che esiste $a \in \mathcal{S}$ tale che $i(a, b) \neq 0$.

- **Supponiamo che β sia separante.** In questo caso $S \setminus \beta$ è unione disgiunta di due superfici S_1 e S_2 , ciascuna con una componente di bordo. Naturalmente S_1 e S_2 hanno genere almeno 1, altrimenti β sarebbe omotopicamente banale.

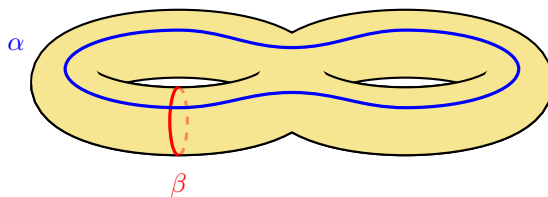


Allora possiamo prendere come a la classe di isotopia della curva α ottenuta come in figura.



Mediante il criterio del bigono è facile vedere che α e β sono in posizione minimale, dunque $i(a, b) = 2$.

- **Supponiamo che β non sia separante.** In questo caso esiste una curva α che interseca β esattamente una volta.



Prendendo come a la classe di isotopia di α , otteniamo che $i(a, b) = 1$.

Dal Lemma 1 sappiamo che

$$i(a, T_b^k(a)) = k \cdot i(a, b)^2$$

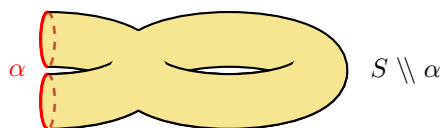
per ogni $k > 0$, dunque in particolare $T_b^k(a) \neq a$. Pertanto l'azione di T_b^k su \mathcal{S} è non banale, e in particolare T_b^k non è banale.

Esercizio 3.2

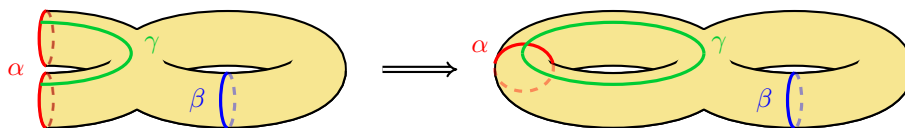
Lemma 2. Siano $a, b \in \mathcal{S}$ due classi di isotopia non banali distinte. Allora esiste una classe $c \in \mathcal{S}$ tale che $i(a, c) \neq i(b, c)$.

Dimostrazione. Osserviamo innanzitutto che se $i(a, b) \neq 0$ allora è sufficiente scegliere $c = a$, giacché $i(a, a) = 0$. Supponiamo dunque che $i(a, b) = 0$, e siano α, β curve semplici chiuse in posizione minimale che rappresentano a e b ; in particolare, α e β hanno supporti disgiunti. Distinguiamo alcuni casi.

- **Supponiamo che α non sia separante.** Allora $S \setminus \alpha$ è una superficie compatta connessa con due componenti di bordo.



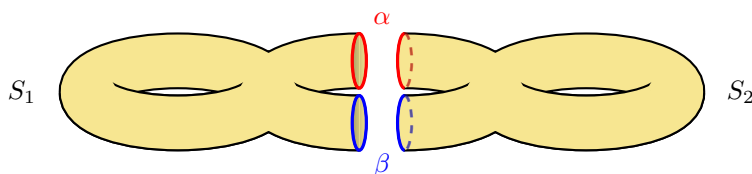
- **Supponiamo che le due componenti di bordo appartengano alla stessa componente connessa di $S \setminus \alpha \setminus \beta$.** Allora esiste una curva γ che interseca α esattamente una volta e non interseca β .



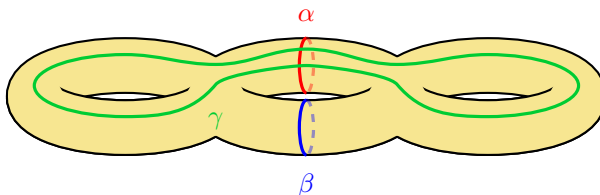
Prendendo come c la classe di isotopia di γ , otteniamo che

$$i(a, c) = 1 \neq 0 = i(b, c).$$

- **Supponiamo che le due componenti di bordo appartengano a componenti connesse diverse di $S \setminus \alpha \setminus \beta$.** In questo caso $S \setminus \alpha \setminus \beta$ è unione disgiunta di due superfici S_1 e S_2 , ciascuna con due componenti di bordo, una lungo α e una lungo β .



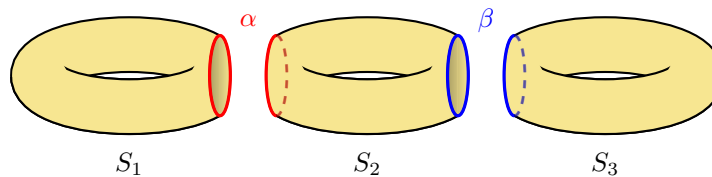
Osserviamo che S_1 e S_2 hanno genere almeno 1, altrimenti α e β coborderebbero un anello e sarebbero dunque isotope. È allora facile individuare una curva γ la cui classe di isotopia c soddisfa la tesi.



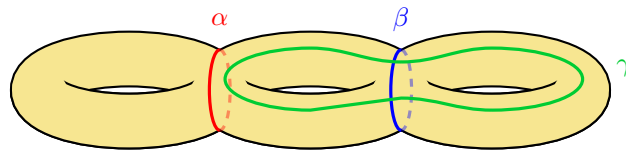
Grazie al criterio del bigono, si verifica che α e γ sono in posizione minimale, da cui

$$i(a, c) = 2 \neq 0 = i(b, c).$$

- **Supponiamo che β non sia separante.** Possiamo allora ripetere il ragionamento del punto precedente, scambiando i ruoli di α e β , ottenendo una classe c tale che $i(a, c) \neq i(b, c)$.
- **Supponiamo che α e β siano separanti.** Allora $S \setminus \alpha \setminus \beta$ è unione disgiunta di tre superfici S_1 , S_2 e S_3 ; S_1 ha una componente di bordo lungo α , S_3 ha una componente di bordo lungo β , e S_2 ha due componenti di bordo, una lungo α e una lungo β .



Osserviamo che S_1 e S_3 hanno genere almeno 1, altrimenti α o β sarebbero omotopicamente banali, e che anche S_2 ha genere almeno 1, altrimenti sarebbero isotopi. È allora facile individuare una curva γ la cui classe di isotopia c soddisfa la tesi.



Grazie al criterio del bigono, si verifica che β e γ sono in posizione minimale, da cui

$$i(a, c) = 0 \neq 2 = i(b, c).$$

□

- (1) ■ Cominciamo a mostrare che la classe di isotopia di T_α non dipende dall'orientazione di α . Sia dunque $\alpha: S^1 \rightarrow S$ una curva semplice chiusa, e sia $\bar{\alpha}: S^1 \rightarrow S$ la curva inversa, ossia quella definita da $\bar{\alpha}(e^{ix}) = \alpha(e^{-ix})$. Se $\psi: A \rightarrow S$ è un intorno regolare orientato di α , allora

$$\begin{aligned} \bar{\psi}: A &\longrightarrow S \\ (e^{ix}, t) &\longmapsto \psi(e^{-ix}, -t) \end{aligned}$$

è un intorno regolare orientato di $\bar{\alpha}$. Poiché la classe di isotopia dei Dehn twist non dipende dalla scelta di f , non è restrittivo supporre che $f(-t) = 2\pi - f(t)$. Mostriamo allora che $T_\alpha(p) = T_{\bar{\alpha}}(p)$ per ogni $p \in S$ (dunque in particolare sono isotopi). La tesi è ovvia per $p \notin \psi(A)$, dunque supponiamo $p \in \psi(A)$; è sufficiente far vedere che $\psi \circ \theta \circ \psi^{-1} \circ \bar{\psi} = \bar{\psi} \circ \theta$. Effettivamente:

$$\begin{aligned} (\psi \circ \theta \circ \psi^{-1} \circ \bar{\psi})(e^{ix}, t) &= \psi(\theta(e^{-ix}, -t)) = \psi(e^{i(-x+f(-t))}, -t) = \psi(e^{-i(x+f(t))}, -t); \\ (\bar{\psi} \circ \theta)(e^{ix}, t) &= \bar{\psi}(\psi(e^{i(x+f(t))}, t)) = \bar{\psi}(e^{-i(x+f(t))}, t). \end{aligned}$$

- Supponiamo che le curve semplici chiuse non banali $\alpha, \beta: S^1 \rightarrow S$ siano due rappresentanti della stessa classe di isotopia, ossia che esista un'isotopia (ambiente) $F: S \times [0, 1] \rightarrow S$ tale che $F_0 = \text{id}_S$ e $F_1 \circ \alpha = \beta$. Osserviamo che, per quanto abbiamo dimostrato, possiamo orientare α e β in modo che una tale isotopia esista. Sia $\psi: A \rightarrow S$ un intorno regolare orientato di α ; notiamo che $F_1 \circ \psi$ è un intorno regolare orientato di β . È allora evidente che un Dehn twist intorno a β è dato da $T_\beta = F_1 \circ T_\alpha \circ F_1^{-1}$, che è ovviamente isotopo a T_α . Questo mostra che $T_\beta = T_\alpha$ in $\text{MCG}(S)$.
- Siano ora $\alpha, \beta: S^1 \rightarrow S$ due curve semplici chiuse non banali e non isotope, e siano $a, b \in \mathcal{S}$ le corrispondenti classi di isotopia. Per il Lemma 2, esiste una classe $c \in \mathcal{S}$ tale che $i(a, c) \neq i(b, c)$. Dal Lemma 1 otteniamo

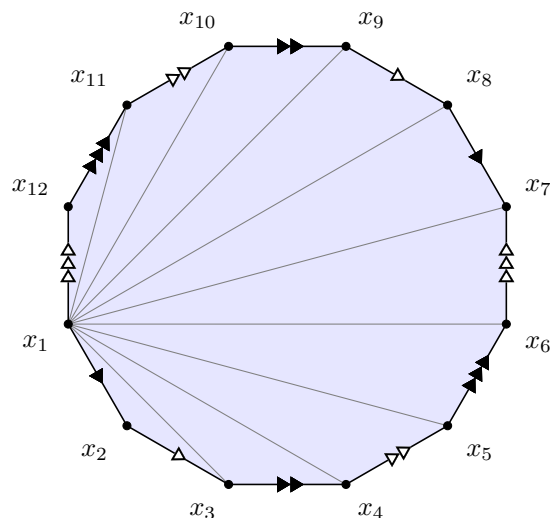
$$i(c, T_a(c)) = i(c, a)^2 \neq i(c, b)^2 = i(c, T_b(c)),$$

da cui $T_a \neq T_b$ come elementi di $\text{MCG}(S)$.

- (2) Per non creare conflitti di notazione, siano $h \in \text{MCG}(S)$, $a \in \mathcal{S}$. Sia $\alpha: S^1 \rightarrow S$ un rappresentante di a , e con lieve abuso di notazione trattiamo h come un diffeomorfismo di S . Sia $\psi: A \rightarrow S$ un intorno regolare di α : notiamo che $h \circ \psi$ è un intorno regolare di $h \circ \alpha$. Ma allora è evidente che $h \circ T_\alpha \circ h^{-1}$ è un Dehn twist intorno a $h \circ \alpha$, da cui la tesi.

Esercizio 3.5

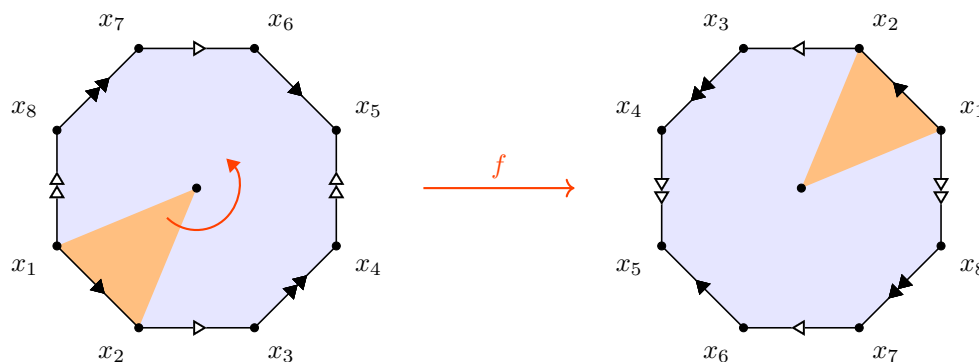
Consideriamo la superficie chiusa ottenuta incollando lati opposti di un $4g$ -gono regolare con orientazioni parallele. Più precisamente, detti x_1, \dots, x_{4g} i vertici del poligono regolare, incolliamo il segmento $x_i x_{i+1}$ con il segmento $x_{2g+i+1} x_{2g+i}$. La superficie Σ così ottenuta ha una struttura di CW-complesso con una 0-cella, $2g$ 1-celle e una 2-cella.



- Σ è **orientabile**. Questo si vede immediatamente triangolando il poligono regolare e osservando che le identificazioni fra lati invertono l'orientazione.
- Una base per $H_1(\Sigma, \mathbb{Z})$ è data dai segmenti $x_i x_{i+1}$ per $1 \leq i < 2g$. Questo si vede facilmente calcolando l'omologia cellulare: infatti i segmenti $x_i x_{i+1}$ sono esattamente le 1-celle, e hanno tutte bordo nullo. Al contempo, anche l'unica 2-cella ha bordo nullo, dunque $H_1(\Sigma, \mathbb{Z}) \simeq \mathbb{Z}^{2g}$ con base data dalle 1-celle.

In particolare, Σ è una superficie chiusa orientabile di genere g .

Per ogni $1 \leq i < 2g$, sia $\alpha_i \in H_1(\Sigma, \mathbb{Z})$ la classe rappresentata in omologia dal segmento $x_i x_{i+1}$. Consideriamo l'automorfismo $f: \Sigma \rightarrow \Sigma$ indotto dalla rotazione di angolo π intorno al centro del poligono regolare.



Osserviamo che il segmento $x_i x_{i+1}$ viene mandato da f nel segmento $x_{2g+i} x_{2g+i+1}$, dunque $f_*(\alpha_i) = -\alpha_i$. Poiché gli α_i formano una base di $H_1(\Sigma, \mathbb{Z})$, abbiamo che $f_* = -\text{id}_{H_1(\Sigma, \mathbb{Z})}$. Ovviamente f ha ordine 2 e preserva l'orientazione, dunque $[f] \in \text{MCG}(\Sigma)$ è l'involuzione iperellittica cercata.

Esercizi del 2 maggio

Esercizio 4.2

A meno di restringere νK , operazione che preserva il tipo di omotopia di M , possiamo supporre che la chiusura di νK sia contenuta nella parte interna di un intorno tubolare compatto $D^2 \times S^1 \subseteq S^3$ di K .

- Consideriamo gli aperti $U = \text{int } M$, $V = \text{int}(D^2 \times S^1)$ di S^3 . Osserviamo che U è omotopicamente equivalente a M , V è omotopicamente equivalente a S^1 , e $U \cap V$ è omotopicamente equivalente a T^2 . Scriviamo una parte della successione esatta di Mayer-Vietoris relativa a U e V :

$$H_2(S^3) \longrightarrow H_1(T^2) \longrightarrow H_1(S^1) \oplus H_1(M) \longrightarrow H_1(S^3),$$

da cui

$$0 \longrightarrow \mathbb{Z} \oplus \mathbb{Z} \longrightarrow \mathbb{Z} \oplus H_1(M) \longrightarrow 0.$$

Poiché $H_1(M)$ è abeliano e finitamente generato (M è compatta), segue immediatamente che $H_1(M) \simeq \mathbb{Z}$.

- Mostriamo che l'omomorfismo $H_1(T^2) \rightarrow H_1(M)$ indotto dall'inclusione è suriettivo.
 - **Vale** $H_1(S^3, \overline{\nu K}) = 0$. Infatti dalla successione esatta lunga in omologia relativa per la coppia $(S^3, \overline{\nu K})$ otteniamo

$$H_1(S^3) \longrightarrow H_1(S^3, \overline{\nu K}) \longrightarrow \tilde{H}_0(\overline{\nu K}),$$

da cui (osservando che $H_1(S^3) = \tilde{H}_0(\overline{\nu K}) = 0$) la tesi.

- **Vale** $H_1(M, T^2) = 0$. Poiché $M = S^3 \setminus \nu K$ e $T^2 = \overline{\nu K} \setminus \nu K$, per escissione otteniamo

$$H_1(M, T^2) = H_1(S^3 \setminus \nu K, \overline{\nu K} \setminus \nu K) \simeq H_1(S^3, \overline{\nu K}) = 0.$$

- **L'omomorfismo** $H_1(T^2) \rightarrow H_1(M)$ **è suriettivo**. Infatti dalla successione esatta lunga della coppia (M, T^2) otteniamo

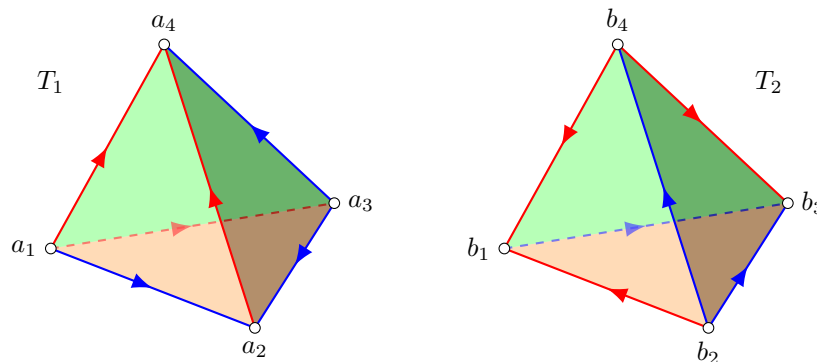
$$H_1(T^2) \longrightarrow H_1(M) \longrightarrow H_1(M, T^2) = 0.$$

Ma allora il nucleo di questo omomorfismo è un sottogruppo ciclico di $H_1(T^2) \simeq \mathbb{Z} \oplus \mathbb{Z}$ generato da un elemento primitivo, diciamo $\alpha \in H_1(T^2)$. Sappiamo che tale α è rappresentato (a meno dell'orientazione) da un'unica classe di isotopia di curve semplici chiuse, il che permette di definire la *longitudine*.

- Si vede facilmente che l'omomorfismo $H_1(T_2) \rightarrow H_1(D^2 \times S^1)$ è suriettivo, poiché ogni curva chiusa in $D^2 \times S^1$ che rappresenta un generatore di $H_1(D^2 \times S^1)$ è omotopa a una curva con supporto contenuto in T_2 . Allora, esattamente come nel punto precedente, il nucleo di tale omomorfismo è generato da un elemento primitivo di $H_1(T^2)$, al quale corrisponde (a meno dell'orientazione) un'unica classe di isotopia di curve semplici chiuse. Questo permette di definire il *meridiano*.

Esercizio 4.3

Ricordiamo che una struttura iperbolica sul complementare del nodo figura otto è data dall'incollamento secondo il seguente schema di due tetraedri ideali regolari iperbolici (le facce dello stesso colore vengono identificate, in modo da rispettare le orientazioni e i colori rappresentati sugli spigoli).



Per fissare la notazione, siano M il complementare del nodo figura otto, T_1, T_2 i due tetraedri, \sim la relazione di equivalenza descritta dall'incollamento, in modo che $M = T_1 \sqcup T_2 / \sim$. Ricordiamo che, in un tetraedro ideale regolare, ogni permutazione dei vertici è indotta da un'unica isometria di \mathbb{H}^n . Sia allora $h_1: T_1 \rightarrow T_1$ l'isometria che induce la permutazione $\sigma = (1\ 2)(3\ 4)$ (più precisamente, $a_i \mapsto a_{\sigma(i)}$); definiamo in modo analogo $h_2: T_2 \rightarrow T_2$. Sia infine $s: T_1 \sqcup T_2 \rightarrow T_2 \sqcup T_1$ l'applicazione che "scambia" T_1 e T_2 mediante l'identità, ossia manda $x \in T_1$ in $x \in T_2$ e viceversa.

Definiamo

$$f = (h_1 \sqcup h_2) \circ s: T_1 \sqcup T_2 \longrightarrow T_1 \sqcup T_2.$$

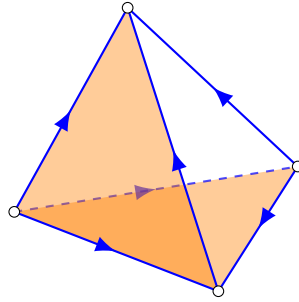
In altre parole, f scambia T_1 e T_2 , e poi applica su ognuno dei tetraedri l'isometria che induce la permutazione sopra descritta. In altre parole ancora, f è l'unica isometria che effettua i seguenti scambi di vertici:

$$a_1 \leftrightarrow b_2 \qquad a_2 \leftrightarrow b_1 \qquad a_3 \leftrightarrow b_4 \qquad a_4 \leftrightarrow b_3.$$

È facile verificare che f è compatibile con la relazione di equivalenza \sim : poiché h_1 e h_2 agiscono allo stesso modo, l'unico fatto non ovvio è la compatibilità sugli spigoli, ma si può vedere per verifica diretta che f manda spigoli rossi in spigoli blu e viceversa, preservandone l'orientazione. Segue che f induce un'applicazione al quoziente $\bar{f}: M \rightarrow M$ che risulta essere un'isometria, in quanto composizione di isometrie. Verifichiamo che \bar{f} non ha punti fissi.

- Se x appartiene alla parte interna di T_1 , allora non è un punto fisso di \bar{f} , poiché $f(x)$ appartiene alla parte interna di T_2 . Lo stesso vale ovviamente per i punti della parte interna di T_2 .
- Poiché σ agisce senza punti fissi sull'insieme delle facce di un tetraedro, se x appartiene alla parte interna di una faccia allora non può essere un punto fisso di \bar{f} , in quanto $f(x)$ appartiene alla parte interna di un'altra faccia.
- Come già osservato, f manda spigoli rossi in spigoli blu e viceversa, dunque non ci sono punti fissi per \bar{f} sugli spigoli.

Osserviamo infine che \bar{f} ha ordine 2. Possiamo allora definire $N = M/\langle \bar{f} \rangle$, che risulta essere una 3-varietà iperbolica completa, non compatta e di volume finito, doppiamente rivestita dal complementare del nodo figura otto. L'immagine di T_1 mediante la proiezione al quoziente fornisce una tassellazione di N con un tetraedro ideale regolare iperbolico. Dalla costruzione che abbiamo effettuato, è facile risalire esplicitamente alla suddetta tassellazione, che riportiamo per completezza.



Esercizio 4.4

Ricordiamo la costruzione, vista a lezione, di una 3-varietà iperbolica tassellata da quattro tetraedri ideali regolari iperbolici. Dopo aver colorato le facce degli ottaedri a scacchiera, le identifichiamo secondo il seguente schema, utilizzando come mappa di incollamento l'identità.

Seguiamo ora un approccio simile a quello dell'esercizio precedente. Siano O_1, O_2, O_3, O_4 gli ottaedri, $M = O_1 \sqcup O_2 \sqcup O_3 \sqcup O_4 / \sim$ la varietà ottenuta mediante l'incollamento. Definiamo l'applicazione

$$f: O_1 \sqcup O_2 \sqcup O_3 \sqcup O_4 \longrightarrow O_1 \sqcup O_2 \sqcup O_3 \sqcup O_4$$

che prima scambia $O_1 \leftrightarrow O_4$ e $O_2 \leftrightarrow O_3$, e poi applica a ogni ottaedro la “mappa antipodale”, ossia l'isometria che scambia ogni vertice con quello diametralmente opposto. È immediato verificare che f passa al quoziente, definendo un'isometria $f: M \rightarrow M$. Tale isometria, inoltre, non ha punti fissi: infatti l'unico punto fisso della mappa antipodale appartiene alla parte interna dell'ottaedro, ma ovviamente f agisce in modo libero su $\{O_1, O_2, O_3, O_4\}$, dunque nessun punto nelle parti interne degli ottaedri può essere fissato.

Osserviamo infine che \bar{f} ha ordine 2, dunque possiamo definire la 3-varietà iperbolica $N = M/\langle \bar{f} \rangle$. Le immagini di O_1 e O_2 mediante la proiezione al quoziente forniscono una tassellazione di N con due ottaedri ideali regolari iperbolici. Dalla costruzione che abbiamo effettuato, è facile risalire esplicitamente alla suddetta tassellazione, ~~e riportiamo per completezza.~~